

## مطالعه‌ی آزمایشگاهی سیستم دیوار برشی فولادی با ورق‌های پرکننده‌ی کامپوزیتی تحت بارگذاری چرخه‌ای\*

«یادداشت پژوهشی»

مسعود خزایی پول<sup>(۱)</sup> فیریز ناطقی الهی<sup>(۲)</sup>

**چکیده** در این مقاله، رفتار غیرخطی دیوارهای برشی فولادی، که در آن ورق پرکننده جان با الیاف پلیمری شیشه‌ی تقویت شده است، به صورت آزمایشگاهی مورد بررسی قرار گرفته است. مدل آزمایشگاهی شامل یک پانل برشی فولادی یک طبقه، با اتصال مغصلی اعضا مرزی در چهار گوشی قاب و هم‌چنین اتصال پیچی اعضا مرزی به ورق پرکننده است. در مجموع تعداد پنج آزمایش انجام شده است. در مدل اول آزمایشگاهی از ورق پرکننده‌ی فولادی تقویت نشده استفاده شده است، در حالی که در چهار مدل آزمایشگاهی بعدی از ورق پرکننده‌ی فولادی تقویت شده با الیاف پلیمری شیشه با تعداد لایه‌های تقویتی متفاوت با چیدمان‌های متفاوت استفاده شده است. نمونه‌های مورد بررسی تحت بارگذاری شبیه‌استاتیکی سیکلی در امتداد قطری قرار گرفته و نتایج حاصل ارائه شده است. نتایج نشان می‌دهد که با استفاده از ورق پرکننده‌ی کامپوزیتی در سیستم دیوار برشی فولادی، می‌توان به مقدار قابل توجهی مقاومت تسلیم و نهایی، سختی اولیه و ثانویه و هم‌چنین جذب انرژی سیستم را افزایش داد.

**واژه‌های کلیدی** مطالعه‌ی آزمایشگاهی، دیوار برشی فولادی، ورق پرکننده‌ی تقویت شده، الیاف پلیمری شیشه، مدد شکست.

## Experimental Study of Steel Plate Shear Walls with Composite Steel Infill Plates under Cyclic Loading

F. Nateghi- Alahi M.Khazaei-Poul

**Abstract** In this paper, nonlinear behavior of composite steel plate shear wall systems, in which steel infill plate is strengthened by fiber reinforced polymer (FRP) layers, are experimentally investigated. Tests are designed to evaluate the effect of glass-FRP layers, layers number of GFRP and orientation of GFRP layers on the stiffness, shear strength, cumulative dissipated energy and other seismic parameters in the composite steel plate shear wall. Experimental models are scaled one-story steel shear panel model, with hinge type connections of boundary elements at four corners. In the first test, unstiffened steel infill plate is used for test. In the next four tests, strengthened steel infill plates are being used with different number and orientation of GFRP layers. Each test was performed under fully reversed cyclic quasi-static loading in the elastic and inelastic response zones of the specimens, in compliance with ATC-24 (1992) test protocol. The experimental results indicate that by strengthening infill steel plate yield strength, ultimate shear strength and cumulative dissipated energy can be significantly increased.

**Keywords** Composite, Steel plate Shear Wall, GFRP, Fiber Orientation, Stiffness, Failure Modes.

★ تاریخ دریافت مقاله ۹۰/۹/۲ و تاریخ پذیرش آن ۹۲/۷/۷ می‌باشد

(۱) استاد، پژوهشگاه بین‌المللی زلزله‌شناسی و مهندسی زلزله، پژوهشکده‌ی سازه، تهران.

(۲) نویسنده‌ی مسئول، کارشناس ارشد سازه-زلزله، پژوهشگاه بین‌المللی زلزله‌شناسی و مهندسی زلزله، پژوهشکده‌ی سازه، تهران.

بار جانبی در این نوع سیستم توسط میدان‌های کششی قطري که در ورق جان بعد از کمانش الاستیک تشکیل می‌شود، تحمل می‌گردد [2]. در دیوار برشی فولادی کامپوزیتی، ورق جان با یک لایه‌ی بتن در یک یا هر دو طرف تقویت می‌شود. لایه‌ی بتن می‌تواند ظرفیت دیوار برشی فولادی را با تسلیم یکنواخت ورق جان افزایش دهد. علاوه بر آن ظرفیت برشی لایه‌ی بتن، ظرفیت بر شی کل سیستم را افزایش می‌دهد. این نوع سیستم دیوار برشی در سازه‌های بلند برای کنترل تغییرمکان‌ها و افزایش سختی سیستم استفاده می‌شود.

الیاف پلیمری تقویت‌شده (FRP) دارای خصوصیات مکانیکی مانند سختی و مقاومت بالا، وزن کم، حمل آسان، مقاومت بالا در برابر خوردگی و شرایط محیطی است [3]. ورق پرکننده‌ی فولادی جان می‌تواند با لایه‌های FRP در دو طرف تقویت شود. در این نوع دیوار برشی فولادی کامپوزیتی، مانند دیوار برشی فولادی تقویت‌نشده، ورق جان دارای مقاومت کمانشی پایین است و ظرفیت بر شی سیستم توسط ایجاد میدان‌های کششی قطري در ورق کامپوزیتی جان تحمل می‌شود. در این نوع خاص دیوار برشی فولادی، نقش الیاف پلیمری تقویت‌شده در افزایش مقاومت برشی پس از کمانش و سختی ثانویه سیستم قابل توجه است. این سیستم هم دارای خصوصیات مثبت دیوار برشی فولادی تقویت‌نشده مانند هزینه‌ی پایین و سرعت اجرای ساخت بالا است و همچنین دارای ویژگی مثبت دیوار برشی فولادی کامپوزیتی مانند سختی و مقاومت بالا در کنترل تغییرمکان‌ها است [4]. در طی چهار دهه‌ی گذشته مطالعات آزمایشگاهی و تحلیلی زیادی بر روی عملکرد لرزه‌های دیوار های برشی فولادی انجام شده که منجر به شناخت بهتر نسبت به عملکرد این نوع سیستم مقاوم جانبی شده است. واگنر [5] اولین محققی بود که از میدان کششی یکنواخت قطري برای محاسبه‌ی ظرفیت پانل‌هایی با بالهای صلب و جان لاغر استفاده کرد و

## مقدمه

دیوارهای بر شی فولادی نسبت به سایر سیستم‌های مقاوم باربر جانبی دارای مزیت‌هایی مانند عملکرد لرزه‌ای مناسب، شکل‌پذیری بالا، جذب انرژی مناسب، سختی اولیه‌ی بالا، هزینه‌ی ساخت پایین و سرعت اجرای بالا هستند [1]. سیستم دیوار بر شی فولادی به سه دسته‌های اصلی قابل تقسیم‌بندی است.

- ۱- دیوار برشی فولادی تقویت‌نشده.
- ۲- دیوار برشی فولادی ساخت‌شده.
- ۳- دیوار برشی فولادی کامپوزیتی.

تا پیش از دهه‌ی ۸۰ میلادی، کمانش الاستیک ورق در دیوار بر شی فولادی به عنوان شکست سیستم در نظر گرفته می‌شد و برای جلوگیری از این مود شکست، سختکننده‌های زیادی در ورق پرکننده‌ی جان برای جلوگیری از کمانش الاستیک آن استفاده می‌شد. در طراحی این نوع دیوار برشی، از کمانش الاستیک ورق جان قبل از تشکیل میدان‌های کششی جلوگیری می‌شود و مقاومت برشی کل در این نوع سیستم ترکیبی از مقاومت کمانشی جان به اضافه‌ی مقاومت ناشی از میدان‌های کششی قطري است. استفاده از سختکننده‌ها به منظور افزایش جذب انرژی و پایدار شدن منحنی چرخه‌ای سیستم دیوار است. یکی از مشکلات استفاده از سختکننده‌ها، افزایش زیاد هزینه‌های ساخت است [2].

از دهه‌ی ۸۰ میلادی به بعد، مطالعات زیاد در مورد رفتار دیوار برشی ساخت‌نشده انجام شده و نتایج نشان داده‌است کمانش ورق پرکننده‌ی جان مود شکست این نوع سیستم نیست و سختی این سیستم بعد از کمانش ورق جان بسیار مطلوب می‌باشد. دیوار برشی فولادی تقویت‌نشده، به عنوان یک مدل پایه در سیستم‌های دیوار برشی فولادی محسوب می‌گردد. در این نوع دیوار برشی، مقاومت کمانشی ورق پرکننده‌ی جان ناچیز است و در مراحل اولیه بارگذاری کمانش الاستیک در ورق جان رخ می‌دهد.

در دیوارهای برشی فولادی کامپوزیتی مورد بررسی قرار دادند.

لوبل و همکاران [17] رفتار دو دیوار برشی فولادی یک طبقه و یک دیوار برشی چهارطبقه را به صورت آزمایشگاهی، تحت بارگذاری سیکلی مورد مطالعه قرار دادند و نتایج را با مدل تحلیلی مقایسه کردند و نشان دادند که ظرفیت بعد از کمانشی را مدل تحلیلی به خوبی برآورد می‌کند، در حالی که برآورد سختی به روش تحلیلی با خطای نسبتاً زیادی همراه است. کسیس و همکاران [18] مطالعات آزمایشگاهی به منظور بررسی نسبت ضخامت ورق جان به بعد پانل و هم‌چنین نوع اتصال تیر به ستون انجام دادند و نشان دادند که مود شکست در هنگام استفاده از جان ضخیم تر به صورت ناپایداری در ستون است و اختلاف بین اتصال ساده و خمسی ناچیز است. درایور و همکاران [19] رفتار یک دیوار برشی فولادی چهار طبقه با جان لاغر تحت بارگذاری سیکلی را به صورت آزمایشگاهی مورد ارزیابی قرار دادند. علوی- ناطقی [20] مطالعات آزمایشگاهی و تحلیلی بر روی ترکیب سخت‌کننده‌های قطری با بازشوی استراتژیک در دیوار برشی فولادی انجام دادند و نتیجه گرفتند که این نوع سیستم دارای جذب انرژی بالا و رفتار لرزه‌ای مناسب می‌باشد. به علاوه آنها روابط نظری را برای تخمین ظرفیت دیوار برشی فولادی با شرایط مختلف لاغری و با توجه به نقش سختی اعضای مرزی ارائه کردند [21]. ویان و همکاران [22] رفتار دیوارهای برشی فولادی با اتصال RBS تیر به ستون مرکب با ورق پرکننده سوراخ‌دار جان تحت بارگذاری سیکلی را به صورت آزمایشگاهی مورد بررسی قرار دادند. علی‌نیا [23,24] تأثیر اضافی مرزی در رفتار دیوارهای برشی با جان لاغر را به صورت تحلیلی مورد ارزیابی قرار داد و نشان داد که سختی اضافی مرزی در کمانش الستیک برشی ورق جان و رفتار بعد از کمانش نقش خیلی کمی دارد.

بيان نمود که کمانش جان نمی‌تواند نشان دهنده‌ی ظرفیت نهایی سیستم باشد. براساس این ایده، محققان زیادی مدل‌های تحلیلی برای برآورد ظرفیت سیستم دیوار برشی فولادی پیشنهاد داده‌اند. توربرن و همکاران [6] روش تحلیلی «مدل نواری» را برای برآورد ظرفیت دیوارهای برشی توسعه و پیشنهاد دادند. تیملر و همکاران [7] روابط موجود برای بهدست آوردن زاویه‌ی میدان‌های کششی را در ورق جان با آزمایش‌هایی اصلاح کردند. الگالی [8] به صورت آزمایشگاهی رفتار دیوارهای برشی فولادی را مورد بررسی قرار داد و یک مدل تحلیلی برای بهدست آوردن رفتار این نوع سیستم‌ها ارائه داد. برمن و برونو [9] نیز یک روش تحلیل پلاستیک برای تحلیل این نوع سیستم‌ها ارائه داده‌اند. مدل نواری امروزه در آئینه‌ای کانادا (CAN/CSA 2001) [10] و (AISC 2001) [11] برای برآورد ظرفیت سیستم دیوار برشی فولادی پیشنهاد شده است. البته روش‌های دیگری نیز مانند روش اندرکنش- قاب- ورق (PFI) [12] و روش اصلاح شده‌ی اندرکنش- قاب- ورق (M-PFI) [13] نیز برای برآورد ظرفیت برشی این نوع سیستم‌ها ارائه شده است که به نظر مؤلفان از جهاتی مانند دقیق بالاتر در محاسبه‌ی رفتار چندخطه‌ی سیستم و در نظر گرفتن اثر اندرکنشی قاب و ورق پرکننده دارای برتری نسبت به مدل نواری است. مؤلفان روابطی برای بهدست آوردن رفتار چندخطه‌ی سیستم دیوار برشی تقویت شده با FRP براساس این دو روش توسعه و پیشنهاد داده‌اند [4]. آستانه و زاهو [14,15] مطالعات آزمایشگاهی بر روی دو نمونه از دیوار برشی فولادی کامپوزیتی سه‌طبقه، تحت بارگذاری شبه‌استاتیکی انجام دادند. آنها نشان دادند که لایه‌ی بتنی توزیع تنش بهتری را در ورق جان ایجاد می‌کند و خطوط میدان‌های کششی را در ناحیه‌ی بیشتری توسعه می‌دهد. رهایی و حاتمی [16] به‌طور تحلیلی و آزمایشگاهی اثر فاصله‌ی گل میخ‌های برشی، صلبیت تیر میانی، و نوع اتصال تیر به ستون را

پیچ صورت گرفته است و تقریباً به صورت گیردار عمل می‌کند. اعضای مرزی طوری طراحی شده‌اند که تمامی محدوده‌ی تغییر مکان‌ها همواره در ناحیه‌ی خطی قرار داشته باشد. هم‌چنین اعضای مرزی حداقل الزامات پیشنهادی در AISC 341-05 را برآورده می‌کند. هدف از انتخاب اعضای مفصلی، حذف اثر اندرکنشی اعضای مرزی با ورق پرکننده بوده است، و هم‌چنین بررسی تنها اثر نوع ورق پرکننده‌ی جان در رفتار سیستم‌های دیوار برشی تقویت شده و تقویت نشده است. در تمامی آزمایش‌ها، اعضای مرزی یکسان است.

در تمامی این پنج مدل آزمایش‌گاهی، ورق پرکننده‌ی جان به صورت مربعی شکل، با بعد ۰/۶ متر انتخاب شده است. تعدادی جایه‌جایی سنج و کرنش سنج نیز در نقاط حساس مورد نظر بر روی نمونه‌ها نصب گردید. در شکل (۲) نحوه‌ی قرارگیری نمونه‌ها در دستگاه بارگذاری محوری (Roell-Amsler) برای انجام آزمایش‌ها نشان داده شده است.

**مشخصات ورق پرکننده‌ی جان در مدل‌های مورد بررسی در جدول (۱) نشان داده شده است.** در نمونه‌ی SPSP1، از ورق فولادی تقویت نشده به ضخامت ۰/۹mm به عنوان ورق پرکننده‌ی جان استفاده شده است. در مدل‌های بعدی، ورق پرکننده‌ی جان ۰/۹mm، با تعدادی لایه پلیمری GFRP با چیدمان متفاوت، مطابق شکل (۳) تقویت شده است.

الیاف پلیمری شیشه‌ی مورد استفاده برای ساخت ورق‌های کامپوزیتی، با نام تجاری SikaWrap-Hex-430G ساخت شرکت سیکا است. این نوع الیاف به صورت یک‌جهته می‌باشد. از چسب Sikadur-330 برای اتصال ورق‌های فولادی به لایه‌های پلیمری استفاده شده است. براساس داده‌های شرکت سازنده، ضخامت یک لایه الیاف پلیمری SikaWrap-Hex-430G با اپوکسی Sikadur-330، برابر ۰/۵۰mm است. در افزایش مقاومت ورق‌های کامپوزیتی، راستا قرارگیری الیاف نقش بسیار مهمی را ایفا می‌کند. علت آن، مقاومت و سختی زیاد در راستای الیاف، و مقاومت

### مطالعه‌ی آزمایشگاهی

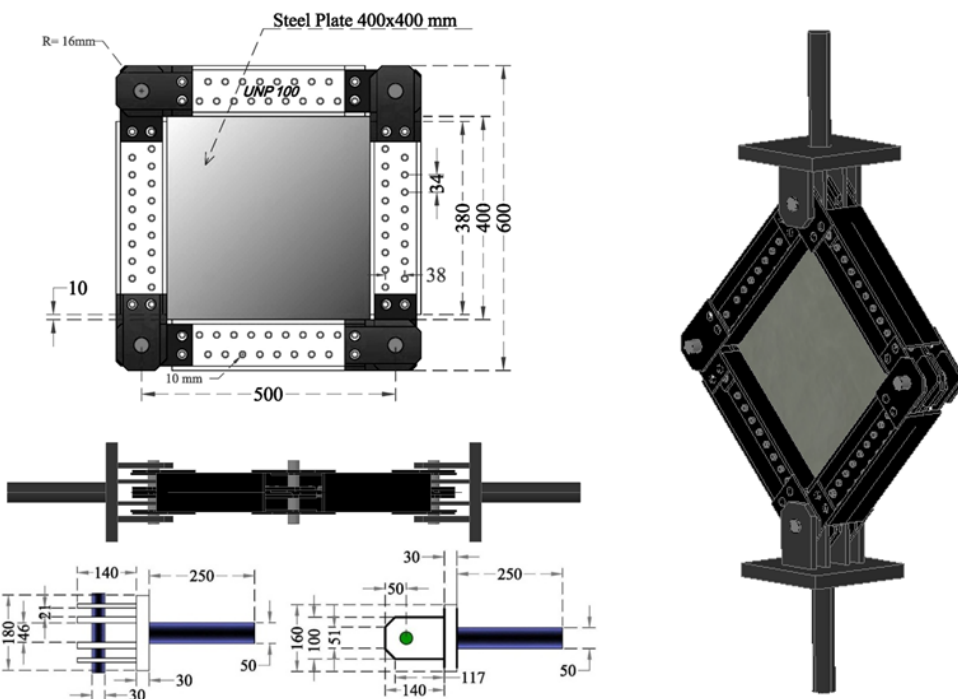
برای ارزیابی رفتار لرزه‌ای دیوار‌های برشی فولادی تقویت شده با الیاف پلیمری شیشه تعدادی آزمایش بر روی یک مدل مقیاس شده انجام شده است. مدل آزمایشگاهی شامل یک پانل بر شی یک‌طبقه، با اتصال مفصلی اعضای مرزی در چهار گوشی قاب و هم‌چنین اتصال پیچی اعضای مرزی به ورق پرکننده است. در مدل اول آزمایشگاهی از ورق پرکننده‌ی فولادی تقویت شده استفاده شده است، در حالی که در چهار مدل بعدی آزمایشگاهی از ورق پرکننده‌ی فولادی تقویت شده با الیاف پلیمری شیشه با تعداد لایه‌های تقویتی متفاوت با چیدمان‌های متفاوت استفاده شده است. نمونه‌های مورد بررسی تحت بارگذاری شبیه‌استاتیکی سیکلی در امتداد قطری براساس الگوی بارگذاری ATC-24 به وسیله‌ی جک‌های هیدرولیکی ۶۰۰kN قرار گرفته است. در ادامه به طور کامل رفتار این نوع سیستم‌ها مورد ارزیابی قرار می‌گیرد.

### مدل‌های آزمایشگاهی و چیدمان آزمایش

در این تحقیق تعدادی آزمایش بر روی دیوارهای برشی فولادی تقویت نشده و تقویت شده انجام شده است. مدل آزمایشگاهی شامل یک دیوار بر شی فولادی یک‌طبقه، با اتصال مفصلی اعضای مرزی در چهار گوشی قاب و هم‌چنین اتصال پیچی اعضای مرزی به ورق پرکننده است. جزئیات اجزای تشکیل‌دهنده‌ی پانل برشی فولادی در شکل (۱) نشان داده شده است. اعضای مرزی این پانل بر شی متشکل از چهار بازو و با طول یکسان و برابر با ۰/۶ متر است. هر بازو از دو پروفیل UNP100 که از قسمت جان توسط دو ردیف پیچ با مقاومت بالا با قطر ۱۰ میلی‌متر متصل می‌باشد، تشکیل شده است، به طوری که ورق پرکننده بین دو پروفیل قرار گرفته است و توسط پیچ‌ها به بازوها متصل می‌شود. اتصال این چهار بازو که تشکیل یک قاب مربعی شکل را می‌دهند، به صورت مفصلی انتخاب شده است. اتصال ورق جان به اعضای مرزی نیز توسط این دو ردیف

در راستای قرارگیری الیاف ممکن است به طور قابل توجهی ظرفیت سیستم را کاهش دهد.

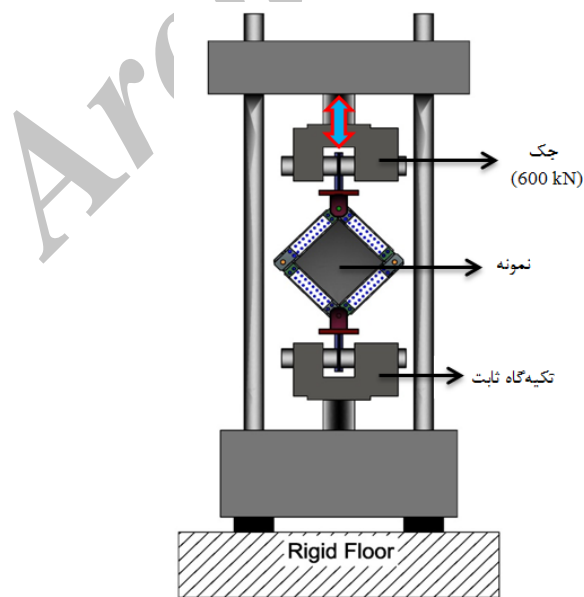
و سختی ناچیز در راستای عمود بر الیاف است. حالت بهینه‌ی استفاده از الیاف در صورتی است که راستای اصلی قرارگیری الیاف در راستای اعمال بار باشد. تغییر



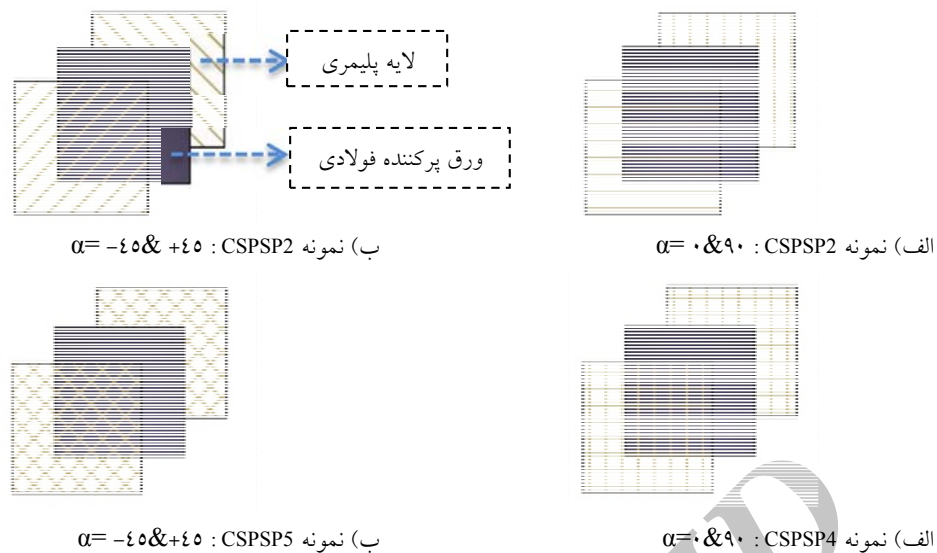
ب) جزئیات دقیق پانل برشی فولادی کامپوزیتی

الف) نمای پانل برشی فولادی کامپوزیتی

شکل ۱ جزئیات نمونه‌ی آزمایشگاهی



شکل ۲ چیدمان آزمایش (Test Set-up)



شکل ۳ حالت‌های مختلف تقویت ورق پرکننده فولادی با الیاف پلیمری در مدل‌های آزمایشگاهی

جدول ۱ مشخصات ورق پرکننده جان در نمونه‌های آزمایشگاهی

نوع الیاف پلیمری	زاویه‌ی قرارگیری لایه‌های پلیمری نسب به راستای افقی تیر	ضخامت کل ورق کامپوزیتی پرکننده (mm)	ضخامت هر لایه در ورق پرکننده (mm)		تعداد لایه در ورق پرکننده		مدل آزمایشگاهی
			لایه‌ی پلیمری	ورق فولادی	لایه‌ی پلیمری	لایه‌ی فولادی	
-	-	۰,۹	-	۰,۹	۰	۱	SPPS1
SikaWrap-430G	۹۰ # ۰	۱,۹۱۶	۰,۵۰۸	۰,۹	۲	۱	CSPSP2
SikaWrap-430G	۴۵ # -۴۵	۱,۹۱۶	۰,۵۰۸	۰,۹	۲	۱	CSPSP3
SikaWrap-430G	۹۰ & # ۹۰ & # ۰	۲,۹۳۲	۰,۵۰۸	۰,۹	۴	۱	CSPSP
SikaWrap-430G	۴۵ & # ۴۵ & -۴۵	۲,۹۳۲	۰,۵۰۸	۰,۹	۴	۱	CSPSP5

۱۹ درصد بود است آمده است. خلاصه نتایج تست کشش در جدول (۲) ارائه شده است. الیاف پلیمری تقویت شده دارای رفتار تقریباً خطی تا گسیختگی نهایی است. براساس اطلاعات شرکت سازنده، مدلول الاستیستیه و تنش گسیختگی یک لایه از الیاف SikaWrap-Hex-430G با اپوکسی Sikadur 330 در راستای طولی الیاف به ترتیب برابر با ۲۶/۴۹ MPa و ۲۷/۴۹ MPa این مقادیر در جهت عمود بر راستی طولی الیاف به ترتیب برابر با ۱۵/۳۷ MPa است. کرنش گسیختگی در راستای طولی و عرضی الیاف به ترتیب برابر با ۲/۲٪ و ۰/۴۶٪ می‌باشد. به طور خلاصه در جدول (۳) مشخصات مکانیکی لایه‌ی

### خصوصیات مکانیکی مصالح

برای به دست آوردن مشخصات دقیق مکانیکی از جمله رفتار تنفس-کرنش مصالح، بر روی مصالح مصرفی در اعضای مرزی و همچنین ورق پرکننده آزمایش تست-کشش (Test Coupon) براساس استاندارد ASTM A370-05 انجام شده است [25]. براساس این آزمایش‌ها، مقاومت تسلیم و مدلول الاستیستیه ورق فولادی پرکننده‌ی جان به ترتیب برابر ۱۹۷ MPa و ۲۰۴ GPa بوده است. برای اعضای مرزی (UNP-100) نیز این مقادیر به ترتیب برابر ۳۱۰ MPa و ۲۰۳ GPa به دست آمده است. کرنش گسیختگی برای ورق پرکننده‌ی جان و اعضای مرزی به ترتیب برابر با ۲۶ و

بازویی از دو المان MPC184 و COMBIN7 به طور ترکیبی استفاده شده است. با توجه به در دست داشتن نتایج تست کشش برای فولاد مصرفی در آزمایش، رفتار مصالح استفاده شده در قاب و ورق پرکننده در مدل المان محدود به صورت رفتار خمیری سخت‌شونده سینماتیک و به صورت مستقل از سرعت مدل سازی گردید. در این نوع رفتار از مدل بسلینگ استفاده می‌شود و اثر بوشینگ در نظر گرفته می‌شود. نوع تحلیل انجام شده در این تحقیق از نوع تحلیل غیرخطی با تغییر مکان‌های بزرگ و با اعمال نقص اولیه براساس مود اول کمانش بوده است. نوع بارگذاری وارد بر سازه به صورت کترل-تغییر مکان و به صورت بارافزا صورت گرفته است. اعمال بار در امتداد قطری نمونه‌ها و مشابه با شرایط آزمایشگاه صورت گرفته است. منحنی نیرو-تغییر مکان این نمونه در شکل (۵) نشان داده شده است. در شکل (۶) وضعیت تنش‌های وان-میسر و تغییر مکان‌های خارج از صفحه‌ی پانل برپشی فولادی نشان داده شده است.

کامپوزیتی ارائه شده است.

### بارگذاری

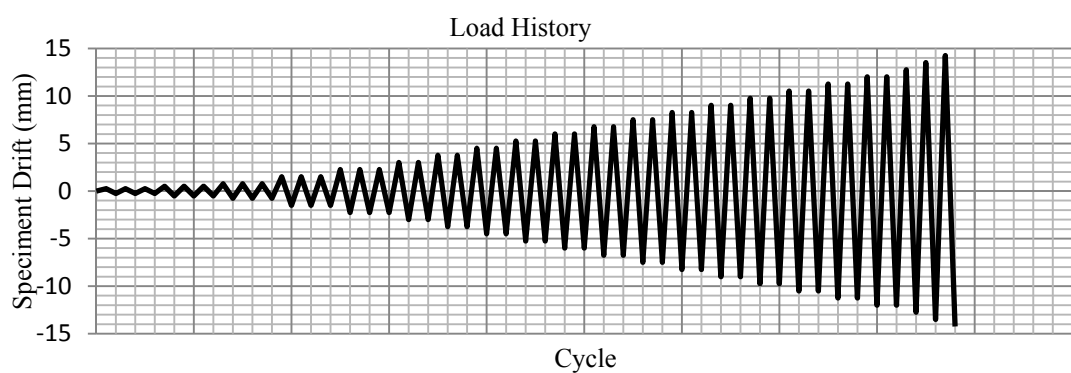
تمامی نمونه‌ها تحت بارگذاری شبه‌استاتیکی سیکلی در امتداد قطری خود، مطابق شکل (۲) قرار گرفته‌ند. بارگذاری به صورت کترل تغییر مکان و براساس پروتکل بارگذاری (ATC-24 [26] از دامنه کوچک بارگذاری تا شکست نمونه‌ها ادامه پیدا کرد. پروتکل بارگذاری یکسانی که بر روی تمامی نمونه‌ها اعمال شده است، در شکل (۴) نشان داده شده است. برای به دست آوردن پروتکل بارگذاری نیاز به مقدار تغییر مکان تسليم نمونه‌ها بوده است و این مقدار با استفاده از تحلیل المان محدود با برنامه‌ی ANSYS به دست آمده است. المان مورد استفاده برای مدل سازی اعضاًی مرزی و ورق فولادی از نوع پوسته‌ی ۱۸۱ (Shell-181) است. این المان چهار گرهی است که هر گره آن دارای ۳ درجه آزادی انتقالی و ۳ درجه آزادی دورانی است و برای مدل سازی ورق‌ها و پوسته‌ها مناسب است. برای ایجاد مفصل خمشی در اعضاًی

جدول ۲ خصوصیات مکانیکی مصالح مصرفی فولادی

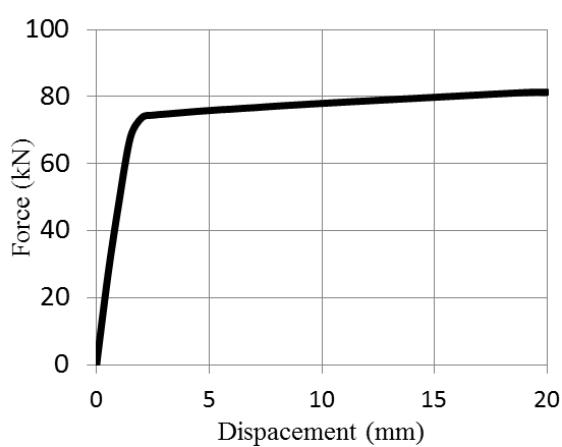
نوع مصالح	مدول الاستیسیته GPa	تنش تسليم MPa	کرنش تسليم %	تنش نهایی MPa	کرنش حد نهایی %	کرنش گسیختگی %
ورق با ضخامت ۰,۹ میلی‌متر	۲۰۴	۱۹۷	۰/۰۹۷	۳۲۳/۲	۲۵	۲۶
ناودانی ۱۰۰	۲۰۳	۳۱۰	۰/۲۳	۴۶۰/۵	۱۸	۱۹

جدول ۳ مشخصات مکانیکی لایه‌ی کامپوزیتی تقویتی

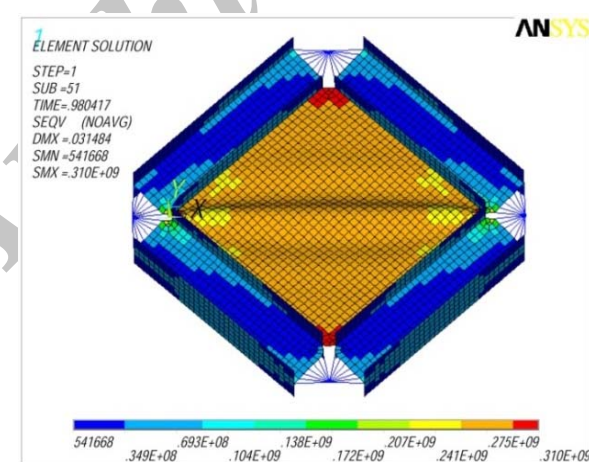
نوع لایه‌ی کامپوزیتی				مقاومت کششی نهایی	مدول الاستیسیته کششی
TX (MPa)	TY (MPa)	EX (GPa)	EY (GPa)		
۵۳۷	۲۳	۲۶/۴۹	۷/۰۷	Sikadur 330 با اپوکسی SikaWrap-Hex-430G	الیاف پلیمری



شکل ۴ پروتکل بارگذاری بر روی نمونه‌های مورد بررسی براساس ATC-24



شکل ۵ نمودار نیرو- تغییرمکان نمونه SPSP1



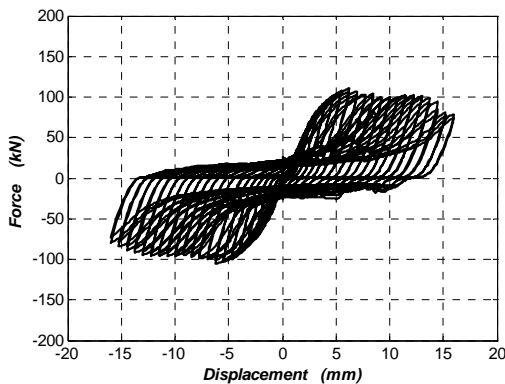
شکل ۶ وضعیت تنش‌های وان-میز در نمونه SPSP1

اول بارگذاری به صورت خطی بوده و در جایه‌جایی نسیی ۰/۴۲٪ در ورق جان کمانش الاستیک قابل مشاهده بوده است. بعد از تسلیم ورق پرکننده تحت

#### تفسیر نتایج

**نمونه SPSP1** منحنی هیسترزیس نمونه SPSP1 در شکل (۷) نشان داده شده است. رفتار نمونه در مراحل

توسعه پیدا کرد و به تدریج از ظرفیت سیستم کاسته شد. پارگی ها در لایه پلیمری، در راستای عمود بر امتداد اصلی الیاف رخ داد و با رشد این پارگی ها جدا شدگی بین باند لایه فولادی و پلیمری اتفاق افتاد (شکل ۱۰). تا جابه جایی  $15\text{ mm}$  ظرفیت سیستم در حدود  $100\text{ kN}$  باقی ماند و در جابه جایی های بزرگ تر با رشد گسیختگی ها، این مقدار به  $80\text{ kN}$  رسید که تقریباً برابر با ظرفیت نمونه تقویت نشده است.

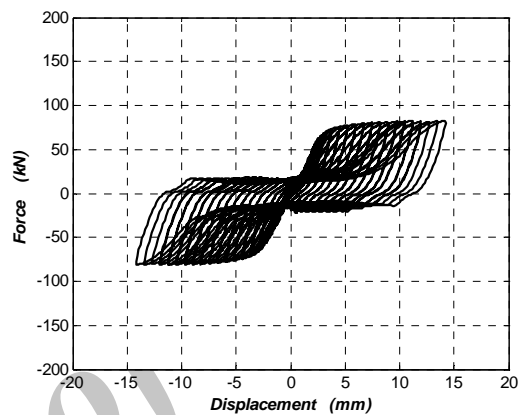


شکل ۹ منحنی هیسترزیس نمونه CSPSP2



شکل ۱۰ پدیده لایه-لایه شدن و پارگی در لایه پلیمری در نمونه CSPSP2

میدان های کششی قطری ظرفیت سیستم تقریباً ثابت و برابر با  $82/58\text{ kN}$  به دست آمده است. طی بارگذاری پارگی هایی در ورق جان در جابه جایی های نسبتاً زیاد به صورت موضعی رخ داده است که در شکل (۸) نشان داده شده است. همان طور که منحنی هیسترزیس این نمونه نشان می دهد، این گسیختگی های موضعی تأثیری در کاهش مقاومت برآمد پانل نداشتند.



شکل ۷ منحنی هیسترزیس نمونه SPSP1

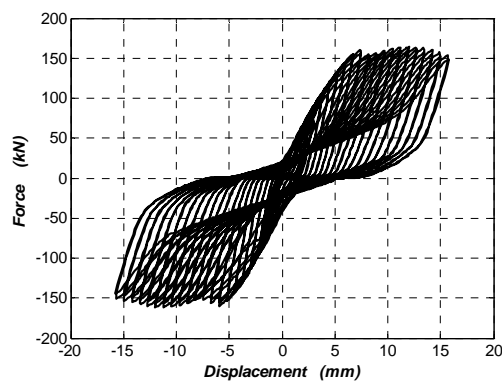


شکل ۸ پارگی های موضعی در ورق پرکننده جان

**نمونه CSPSP3.** منحنی هیسترزیس نمونه CSPSP3 در شکل (۱۱) نشان داده شده است. رفتار نمونه در مراحل اول بارگذاری به صورت خطی بود و در جابه جایی نسبی  $0/72\%$  در ورق جان کمانش الاستیک مشاهده شد. بعد از تسلیم لایه فولادی ورق جان که در جابه جایی  $4/4\text{ mm}$  تقریباً رخ داد، کماکان رفتار سیستم حالت سخت شونده داشت. این اضافه مقاومت تو سط لایه های پلیمری تأمین شده بود. بعد از جابه جایی های بزرگ تر از  $6/5\text{ mm}$ ، پارگی هایی در

**نمونه CSPSP2.** منحنی هیسترزیس نمونه CSPSP2 در شکل (۹) نشان داده شده است. در این نمونه ورق پرکننده فولادی جان با دو لایه پلیمری تقویت شده است. تا جابه جایی  $3\text{ mm}$  تقریباً به صورت خطی بود و در جابه جایی های بزرگ تر از  $5/25\text{ mm}$  ( $0/75\%$ ) کمانش در ورق جان اتفاق افتاد. در جابه جایی  $7\text{ mm}$  ظرفیت سیستم به  $120\text{ kN}$  رسید. در جابه جایی های بزرگ تر از  $8\text{ mm}$  گسیختگی های موضعی در لایه تقویتی پلیمری

۴ درجه می سازد. در این مدل ضخامت ورق پرکننده ۰/۹ میلی متر است و در هر طرف ۲ لایه پلیمری قرار دارد. منحنی هیسترزیس نمو نهایی CSPSP3 در شکل (۱۳) نشان داده شده است. کمانش الستیک در این نمونه در ورق جان در تغییر مکان نسبی ۰/۷۵٪ رخ داده است. ظرفیت نمونه در جایه جایی ۷mm ب نهاده است. این رسمی در تغییر مکان های بزرگ تر، تقریباً این مقدار ثابت باقی ماند. در این نمونه برخلاف دو نمونه ای تقویت شده پیشین، هیچ گونه پدیده های پارگی و لایه لایه شدن در لایه های پلیمری مشاهده نشد (شکل (۱۴)).



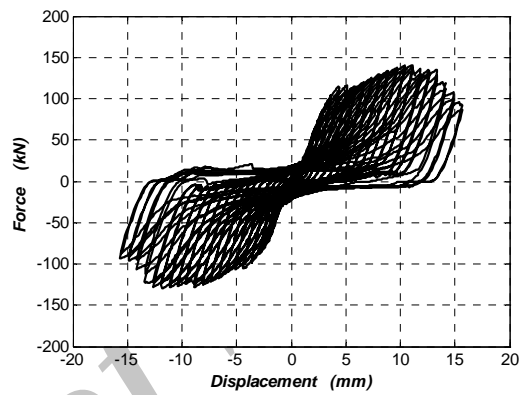
شکل ۱۳ منحنی هیسترزیس نمونه‌ی CSPSP4



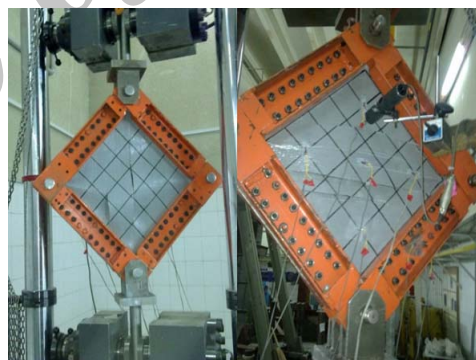
شکل ۱۴ عدم مشاهده پدیده‌ی لایه-لایه شدن و پارگی در لایه‌ی پلیمری نمونه‌ی CSPSP4 (وضعیت نمونه در تغییر مکان نسبی ۲٪).

**CSPSP5** نمو نهی در این نمونه ورق فولادی پرکنندهی جان از هر طرف با دو لایه از الیاف پلیمری عمود بر هم در هر طرف تقویت شده است. راستای قرارگیری طولی الیاف در راستای میدان های کششی قرار گرفته است. منحنی هی سترزیس نمونه ۵ **CSPSP5**

راس-تای عمود بر راستای طولی الیاف شروع به شکل گیری کرد. تا جایه جایی  $135/13$  میلی متر رفتار نمونه حالت سخت شونده داشت و در این جایه جایی ظرفیت سیستم به حدود  $140/8$  kN رسید. در جایه جایی های بزرگ تر، به علت رشد پارگی، لایه لایه شدن و هم چنین جدا شدن گی لایه های پلیمری (مطابق شکل ۱۲)، ظرفیت سیستم کاهش یافت.



شکل ۱۱ منحنی هیسترزیس نمونه‌ی CSPSP3

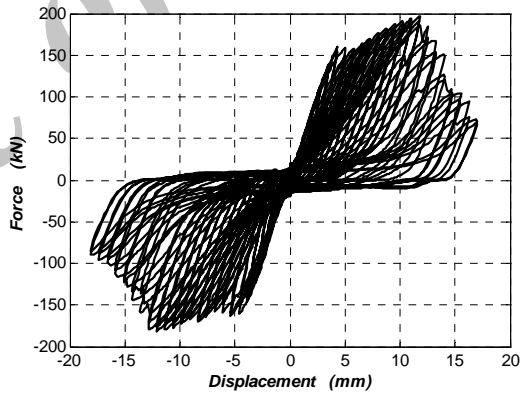


شکل ۱۲ پدیده‌ی لایه-لایه شدن و پارگی در لایه‌ی پلیمری  
CSPSP3 نمونه‌ی

نمونه‌ی *CSPSP4* نتایج آزمایش بر روی دو نمونه‌ی *CSPSP2* و *CSPSP3* نشان داد که یکی از مودهای خرابی در این نوع سیستم، گسیختگی و لایه-لایه شدن الیاف در راستای ضعیف ورقهای *GFRP* است. با توجه به این مسئله و جلوگیری از این مود گسیختگی، در نمو نه‌ی *CSPSP4*، ورق پرکنده‌ی فولادی با دو لایه‌ی عمود برهم از الیاف پلیمری شیشه‌ی تقویت شده است. در این مدل راستای اصلی لایه‌های پلیمری با راستای میدان‌های کششی، زاویه‌های

بررسی پارامترهای مهم لرزه‌ای سیستم. الف) سختی و مقاومت بر Shi. در جدول (۴) مقدار سختی، مقاومت تسلیم و نهایی نمونه‌های مورد بررسی براساس منحنی‌های هیسترزیس آزمایشگاهی نشان داده شده است. همان‌طور که مشاهده می‌شود با اضافه کردن لایه‌ی کامپوزیتی سختی تمام نمونه‌ها افزایش پیدا کرده است. در نمونه‌های CSPSP2 و CSPSP3 که ورق پرکننده‌ی جان با دو لایه‌ی پلیمری تقویت شده است، مقدار سختی به ترتیب به میزان ۱۰ و ۳۹ درصد افزایش پیدا کرده است. بر این اساس اگر راستای الیاف موازی با میدان‌های کششی باشد میزان افزایش سختی سیستم تا میزان ۲۹ درصد نسبت به حالت دیگر قبل افزایش است. در نمونه‌های CSPSP4 و CSPSP5 که ورق پرکننده‌ی جان با چهار لایه‌ی پلیمری تقویت شده است، میزان سختی به ترتیب به میزان ۳۴ و ۵۹ درصد افزایش کرده است. در این حالت نیز با قرارگیری الیاف راستای الیاف پلیمری شیشه در راستای میدان‌های کششی مقدار سختی به میزان ۲۴ درصد افزایش پیدا کرده است. نتایج نشان می‌دهد که اگر راستای اصلی الیاف پلیمری در راستای میدان‌های کششی باشد میزان سختی در سیستم به بیشترین مقدار ممکن می‌رسد. مقاومت تسلیم و نهایی نیز در نمونه‌های تقویت شده افزایش پیدا کرده است. مقاومت نهایی در نمونه‌های CSPSP3، CSPSP2، CSPSP4 و CSPSP5 به ترتیب به میزان ۲۴، ۷۱، ۱۰۱ و ۱۲۰ درصد افزایش پیدا کرده است. بر این اساس مشاهده می‌شود که ظرفیت نهایی نمونه‌ها با افزایش تعداد لایه افزایش پیدا می‌کند. از طرف دیگر نتایج نشان می‌دهد که مقاومت نهایی نمونه‌ها تحت تأثیر مستقیم راستای قرارگیری لایه‌های پلیمری نسبت به میدان‌های کششی است. بر این اساس اگر راستای قرارگیری الیاف در راستای میدان‌های کششی باشد میزان مقاومت نهایی نیز در سیستم به بیشترین مقدار ممکن می‌رسد.

در شکل (۱۵) نشان داده شده است. کمانش الاستیک در این نمونه در ورق جان در تغییر مکان نسبی بزرگ‌تر از ۵٪ رخ داده است. رفتار نمونه تا جایه جایی ۵mm ظرفیت تقریباً خطی بوده است. در جایه جایی ۵mm ظرفیت نمونه به ۱۶۰ kN رسید. در جایه جایی‌های بزرگ‌تر سختی سیستم کاهش یافت و رفتار سخت شونده‌ی نمونه تا جایه جایی ۱۲mm (۱۷٪) ادامه داشت. در این تغییر مکان ظرفیت سیستم به ۱۸۰/۵ kN رسید. از این لحظه به بعد گسیختگی در لایه‌ی پلیمری در راستای میدان‌های کششی و به صورت قطری و هم‌چنین گسیختگی در محل اتصال ورق کامپوزیتی به اعضای مرزی مطابق با شکل (۱۶) رخ داد. از این لحظه به بعد از ظرفیت نمونه به سرعت با افزایش تغییر مکان کاسته شد و در مراحل پایانی بارگذاری ظرفیت نمونه به ۷۵ kN رسید.



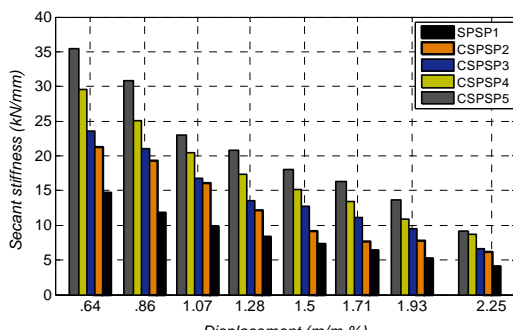
شکل ۱۵ منحنی هیسترزیس نمونه‌ی CSPSP5



شکل ۱۶ گسیختگی اتصال ورق کامپوزیتی به اعضای مرزی و پارگی لایه‌ی پلیمری در امتداد قطری در نمونه‌ی CSPSP5

جدول ۴ مقایسه‌ی مقدار سختی، مقاومت تسلیم و نهایی نمونه‌های آزمایشگاهی

نمونه	سختی kN/m	سختی نسبی (kN/m)/(kN/m)	مقاومت نسلیم kN	مقادیر مقاومت نهایی kN/kN	مقادیر مقاومت نهایی kN	مقادیر مقاومت نهایی kN/kN
SPSP1	۲۶۱۱۵	۱	۷۲/۸۸	۱	۸۲/۵۸	۱
CSPSP2	۲۸۶۶۷	۱/۱	۱۰۰/۵	۱/۳۸	۱۰۲/۳	۱/۲۴
CSPSP3	۳۶۳۲۵	۱/۳۹	۱۱۵	۱/۵۸	۱۴۰/۸	۱/۷۱
CSPSP4	۳۴۹۸۱	۱/۳۴	۱۶۰/۷	۲/۲	۱۶۵/۶	۲/۰۱
CSPSP5	۴۱۶۵۲	۱/۰۹	۱۶۰	۲/۲	۱۸۲	۲/۲



شکل ۱۷ سختی سکانت نمونه‌ی آزمایشگاهی

پ) میزان انرژی مستهلك شده‌ی تجمعی. میزان انرژی مستهلك شده‌ی تجمعی برای نمونه‌های آزمایشگاهی مورد مطالعه در تغییرمکان‌های نسبی مختلف بارگذاری در شکل (۱۸) نشان داده شده است. در چرخه‌های اول بارگذاری به عمل این که هنوز نمونه‌ها در محدوده ناحیه‌ی الاستیک هستند، میزان انرژی مستهلك شده ناچیز می‌باشد. با افزایش بارگذاری و ورود پانل به ناحیه‌ی غیرخطی میزان انرژی جذب شده در سیکل‌هایی با دامنه‌ی بیشتر افزایش یافته است. همان‌طور که از شکل (۱۸) مشاهده می‌شود تقویت سیستم‌های مورد بررسی باعث افزایش میزان انرژی مستهلك شده‌ی تجمعی نمونه‌های آزمایشگاهی مورد بررسی شده است. در تغییرمکان نسبی ۲٪ میزان انرژی مستهلك شده‌ی تجمعی در نمونه‌های CSPSP2, CSPSP3, CSPSP4 و CSPSP5 به ترتیب به میزان ۴۸، ۲۴، ۲۸ و ۵۰ درصد نسبت به نمونه SPSP1 افزایش پیدا کرده است. همان‌طور که از شکل (۱۸) مشاهده می‌شود تقویت سیستم‌های مورد بررسی باعث افزایش میزان انرژی مستهلك شده‌ی تجمعی نمونه‌های آزمایشگاهی مورد بررسی شده است. در تغییرمکان نسبی ۲٪ میزان انرژی مستهلك شده‌ی تجمعی در نمونه‌های CSPSP2, CSPSP3, CSPSP4 و CSPSP5 به ترتیب به میزان ۴۸، ۲۴، ۲۸ و ۵۰ درصد نسبت به نمونه SPSP1 افزایش پیدا کرده است. همان‌طور که از شکل (۱۸) مشاهده می‌شود تقویت سیستم‌های مورد بررسی باعث افزایش میزان انرژی مستهلك شده‌ی تجمعی نمونه‌های آزمایشگاهی مورد بررسی شده است. در تغییرمکان نسبی ۲٪ میزان انرژی مستهلك شده‌ی تجمعی در نمونه‌های CSPSP2, CSPSP3, CSPSP4 و CSPSP5 به ترتیب به میزان ۴۸، ۲۴، ۲۸ و ۵۰ درصد نسبت به نمونه SPSP1 افزایش پیدا کرده است. همان‌طور که از شکل (۱۸) مشاهده می‌شود تقویت سیستم‌های مورد بررسی باعث افزایش میزان انرژی مستهلك شده‌ی تجمعی نمونه‌های آزمایشگاهی مورد بررسی شده است. در تغییرمکان نسبی ۲٪ میزان انرژی مستهلك شده‌ی تجمعی در نمونه‌های CSPSP2, CSPSP3, CSPSP4 و CSPSP5 به ترتیب به میزان ۴۸، ۲۴، ۲۸ و ۵۰ درصد نسبت به نمونه SPSP1 افزایش پیدا کرده است.

ب) سختی سکانت. در شکل (۱۷) روند تغییرات سختی سکانت برای نمونه‌های آزمایشگاهی مورد مطالعه در تغییرمکان‌های نسبی مختلف بارگذاری نشان داده شده است. مشاهده می‌شود که در تمام نمونه‌ها با افزایش دامنه بارگذاری سختی سکانت سیستم کاهش می‌یابد. در تمام نمونه‌های تقویت شده میزان سختی سکانت سیستم نسبت به نمونه‌ی تقویت‌نشده بیشتر است. در تغییرمکان نسبی ۲٪ سختی سکانت در نمونه‌های CSPSP2, CSPSP3, CSPSP4 و CSPSP5 به ترتیب به میزان ۴۸، ۲۴، ۲۸ و ۵۰ درصد نسبت به نمونه SPSP1 افزایش پیدا کرده است. همان‌طور که مشاهده می‌شود در بین نمونه‌ها، نمونه‌هایی که با چهار لایه GFRP تقویت شده‌اند نسبت به تقویت با دو لایه GFRP تقویت شده‌اند، دارای سختی سکانت بیشتری هستند. از بین نمونه‌های CSPSP3, CSPSP2, CSPSP4 و CSPSP5 که در آن راستای گرفته‌است، نمونه SPSP3 که در آن راستای قرارگیری الیاف در راستای میدان‌های کششی صورت گرفته است، نمونه SPSP4 که تقویت با چهار لایه GFRP و CSPSP5 که تقویت با دو لایه GFRP گرفته است، نمونه SPSP5 که در آن راستای قرارگیری الیاف در راستای میدان‌های کششی صورت گرفته است سکانت بیشتری دارد. همچنین از بین نمونه‌های CSPSP4 و CSPSP5 که تقویت با چهار لایه GFRP گرفته است، نمونه SPSP5 که در آن راستای قرارگیری الیاف در راستای میدان‌های کششی بوده است سکانت بیشتری دارد. بر این اساس اگر راستای قرارگیری الیاف در راستای میدان‌های کششی باشد میزان سختی سکانت سیستم به بیشترین مقدار ممکن می‌رسد.

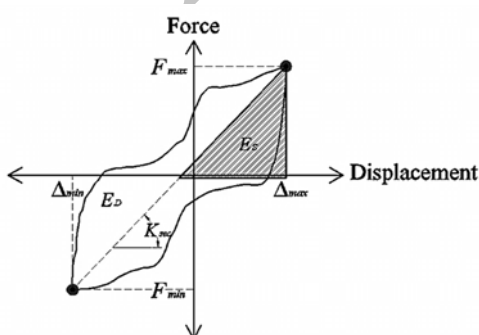
قرار گرفت و تأثیر استفاده از ورق پرکننده‌ی کامپوزیتی در رفتار لرزه‌ای سیستم دیوارهای برشی فولادی مورد مطالعه قرار گرفت. مهم‌ترین نتایج حاصل، به طور خلاصه به شرح زیر است:

- تمامی نمونه‌های مورد بررسی دارای رفتار هیسترزیس مطلوب هستند.

- سیستم‌های تقویت شده نسبت به سیستم تقویت نشده دارای سختی و مقاومت به مرتب بیشتری هستند. با افزایش لاشهای پلیمری این مقادیر افزایش پیدا می‌کنند. راستای قرارگیری الیاف نسبت به میدان‌های کششی از پارامترهای مهم تغییر این پارامترها است؛ به نوعی که اگر راستای قرارگیری الیاف در راستای میدان‌های کششی باشد، این مقادیر به مقدار بیشینه‌ی خود می‌رسند.

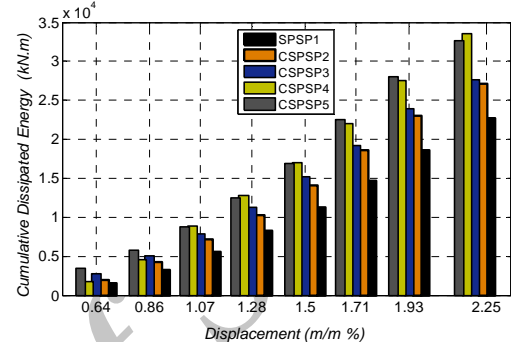
- میزان انرژی مستهلك شده نمونه‌ها در نمونه‌های تقویت شده نسبت به نمونه‌ی تقویت نشده افزایش یافته است. تغییر راستای قرارگیری لاشهای پلیمری تقویت شده نسبت به میدان‌های کششی تأثیر زیادی بر میزان جذب انرژی سیستم ندارد و میزان جذب انرژی نزدیک بهم است و بیشتر به تعداد لاشهای کامپوزیتی بستگی دارد.

- با تقویت ورق پرکننده‌ی جان با دو لایه‌ی عمود بر هم پلیمری در هر طرف، می‌توان از مود شکست تر ماند لایه-لایه شدن لایه‌ی پلیمری جلوگیری کرد.  
- راستای قرارگیری الیاف نسبت به میدان‌های کششی یک پارامتر مهم در رفتار لرزه‌ای این نوع سیستم‌ها است.



شکل ۱۹ یک حلقه از منحنی چرخه‌ای

CSPSP5 بهم نزدیک است و تغییر راستای قرارگیری لاشهای پلیمری تقویت شده نسبت به میدان‌های کششی تأثیر زیادی بر میزان جذب انرژی سیستم ندارد و میزان جذب انرژی نزدیک بهم است و تنها به تعداد لاشهای کامپوزیتی بستگی دارد. در بین نمونه‌های مورد بررسی GFRP تقویت شده‌اند نسبت به نمونه‌هایی با دو لایه‌ی GFRP تقویت شده مقدار بیشتری از انرژی را مستهلك کرده‌اند.



شکل ۱۸ انرژی مستهلك شده تجمعی نمونه‌ی آزمایشگاهی

ت) مودهای شکست در باند بین لایه‌ی پلیمری GFRP و ورق فولادی. مودهای شکست در باند بین لایه‌ی پلیمری GFRP و ورق فولادی در نمونه‌های مورد بررسی به شرح زیر است:

- تقویت با یک لایه‌ی پلیمری در هر طرف (نمونه‌ی CSPSP3 و CSPSP2)

- پارگی در راستای ضعیف الیاف در هر طرف.

- پدیده‌ی لایه-لایه شدن در لایه‌ی پلیمری.

- جداشدگی باند بین لایه‌ی پلیمری و فولادی.

- تقویت با دو لایه‌ی پلیمری در هر طرف (نمونه‌ی CSPSP4 و CSPSP5)

- جداشدگی باند بین لایه‌ی پلیمری و فولادی.

- شکست اتصال ورق به اعضای مرزی ( فقط در نمونه‌ی CSPSP5).

- گسیختگی در راستای اصلی الیاف در تغییر مکان‌های نسی بزرگ ( فقط در نمونه‌ی CSPSP5).

### نتیجه‌گیری

در این مقاله به صورت آزمایشگاهی رفتار دیوارهای برشی فولادی تقویت شده با الیاف پلیمری مورد بررسی

## پیوست

## الف) سختی سکانت

$$K_{sec} = \frac{\Delta F}{\Delta L} = \frac{F_{max} - F_{min}}{\Delta_{max} - \Delta_{min}} \quad (1)$$

ب) ضریب میرایی ویسکوز معادل ( $\zeta_{hyst}$ )

$$\zeta_{hyst} = \frac{1}{4\pi} \left( \frac{E_D}{E_S} \right) \quad (2)$$

## پ) سطح زیر نمودار در هر چرخه

$$E_S = \frac{1}{8} (F_{max} - F_{min}) \times (\Delta_{max} - \Delta_{min}) \quad (3)$$

## تشکر و قدردانی

این تحقیق با استفاده از کمک‌های مالی پژوهشگاه بین‌المللی زلزله‌شناسی و مهندسی زلزله و شرکت سیکا پارسیان در سال ۱۳۸۹ صورت گرفته است. انجام این تحقیق میسر نبود مگر با همکاری اعضای گروه آزمایشگاه سازه و گروه پژوهشکده مهندسی سازه و آقای دکتر عرفان علوی. از همکاری‌های صمیمانه‌ی مهندس محمد‌مهدی قانع نیز در ساخت نمونه‌ی آزمایشگاهی تقدیر می‌گردد.

## مراجع

1. Astaneh – Asl, A., "Seismic behaviour and design of steel shear walls", Steel TIPS Report, Structural Steel Educational Council, Moraga, CA, (2001).
2. Sabelli, R., Bruneau, M., "Design guide 20: steel plate shear walls", American Institute of Steel Construction. Chicago, IL, USA. (2007).
3. Zhao, X-L., Zhang, L., "State-of-the-art review on FRP strengthened steel structures", Engineering Structures; Vol. 29, PP.1808–23, (2007).
4. Khazaei-Poul, M., Natghi-Alahi, F., "Behavior of strengthened steel plate shear wall by FRP laminate", M.Sc. Thesis. International Institute Of Earthquake Engineering and Seismology, Iran, December; (2011).
5. Wagner, H., "Flat sheet metal girders with very thin webs", Part I, General theories and assumptions, Tech Memo, National Advisory Committee for Aeronautics, Washington D. C., No. 604, (1931).
6. Thorburn, L.J., Kulak, G.L., Montgomery, C.J., "Analysis of steel plate shear walls", Structural engineering report 107, Edmonton (Alberta, Canada): Department, (1983).
7. Timler, P.A., Kulak, G.L., "Experimental study of steel plate shear walls", Structural Engineering Report, University of Alberta, Canada, No. 114, (1983).
8. Elgaaly, M., "Thin steel plate shear walls behavior and analysis", Thin walled. Structures, Vol. 32, PP.151-180, (1998).
9. Berman, J.W., Bruneau, M., "Plastic analysis and design of steel plate shear walls", *Journal of Structural Engineering*. Vol. 129, PP. 1148–1156, (2003).
10. CAN/CSA S16-2001, "Limit state design of steel structures", Canadian Standards Association, Willowdale, ON., Canada. (2001).
11. AISC, "Specifications for structural steel buildings, American Institute of Steel Construction, Chicago, IL., USA, (2005b).
12. Sabouri-Ghomí, S., Ventura, C., Kharrazi, H.K., "Shear analysis and design of ductile steel plate

- walls", *Journal of Structural Engineering*, Vol. 131, No. 6, June 1, (2005).
13. Kharrazi, MHK., "Rational method for analysis and design of steel plate walls", Ph.D. dissertation. Vancouver (Canada): University of British Columbia, (2005).
  14. Astaneh-Asl, A., "Seismic studies of innovative and traditional composite shear walls", Research project in-progress, Dept of Civil and Env Engineering: Univ. of California, Berkeley, (1998-2000).
  15. Astaneh-Asl, A., "Cyclic tests of steel shear walls", Research project. Berkeley: Dept. of Civil and Env Engineering, Univ of California, (2001).
  16. Rahai, A., Hatami, F., "Evaluation of composite shear wall behavior under cyclic loadings", *Journal of Constructional Steel*, Vol. 65(7), PP.1528–37, (2009).
  17. Lubell, A. S., Prion, H. G. L., Ventura, C. E., Rezai, M., "Un-stiffened steel plate shear wall performance under cyclic loading", *Journal of Structural Engineering*, Vol. 126, No. 4, pp. 453-460, (2000).
  18. Caccese, V., Elgaaly, M., Chen, R., "Experimental study of thin steel-plate shear walls under cyclic load", *ASCE Journal of Structural Engineering*, Vol. 119, No. 2, pp. 573-587, (1993).
  19. Driver, R. G., Kulak, G. L., Kennedy, D. J. L., "Cyclic tests of four-story steel plate shear wall". *ASCE Journal of Structural Engineering*, Vol. 124, No. 2, pp. 112-120, (1998).
  20. علوی، عرفان و ناطقی‌الهی، فریبرز، "مطالعه‌ی تحلیلی و آزمایشگاهی دیوارهای برشی فولادی تقویت‌شده‌ی قطری"، رساله‌ی دکتری، پژوهشگاه بین‌المللی زلزله‌شناسی و مهندسی زلزله، (۱۳۸۹).
  21. Nateghi, F., Alavi, E., "Theoretical seismic behaviour of steel plate shear walls", *The 14th World Conference on Earthquake Engineering*, Beijing, China, NO. 05. 050120, (2008).
  22. Vian, D., Bruneau, M., Tsai, K. C., Lin, Y. C., "Special perforated steel plate shear walls with reduced beam section anchor beams, I: Experimental investigation", *Journal of Structural Engineering*, Vol. 135, No. 3, March 1, (2009).
  23. Alinia, M. M., "A study into optimization of stiffeners in plates subjected to in- plane shear loads", *Thin-Walled Structures*, Vol. 43(4), PP. 845\_60, (2005).
  24. Alinia, M. M., Dastfan, M., "Behaviour of thin steel plate shear walls regarding frame members", *Journal of Constructional Steel Research*, Vol. 62, PP.730-8, (2006).
  25. ASTM, A-370- 03, "Standard Test Methods and Definitions for Mechanical Testing of Steel Products", ASTM International, 100 Barr Harbor Drive, PO Box C700, West Conshohocken, PA 19428-2959, United States, (2006).
  26. ATC., "Guidelines for cyclic seismic testing of components of steel structures for buildings", Rep. No. ATC-24, Applied Technology Council, Redwood City, Calif, (1992).